

# 赤方偏移バイスペクトルの分解方法

## SLEPIAN & EISENSTEIN (2017)と応用

---

*Kazuhiro Yamamoto (Hiroshima U)*

# Outline

- § 1 イントロダクション、2点相関関数、パワースペクトルの変数
- § 2 3点相関関数、バイスペクトルの変数と多重極展開
- § 3 ハローアプローチに基づいたバイスペクトルの理論模型
- § 4 結論

# 1. イントロダクション

バイスペクトルの定義 (Scoccimarro et al) は数学的にはわかるが、直感的な振る舞いの理解はよく分からない。  
特に、赤方偏移空間を記述する量  
Multipole bispectrumの振る舞い。

バイスペクトル  $\longleftrightarrow$  3点相関関数の対応

Slepian & Eisenstein (2015~2017)

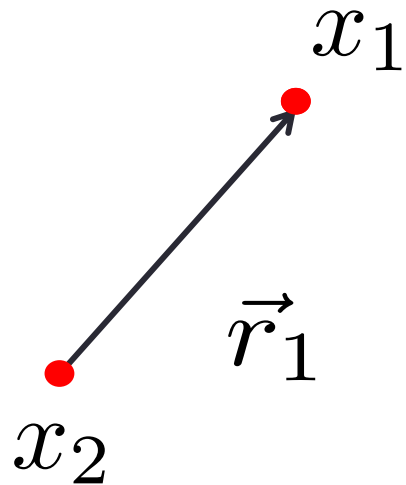
3点相関関数 (3PCF) の展開

～ 赤方偏移空間の3PCFの変数と展開法  
解説と応用

## § 2. 2点関数関数

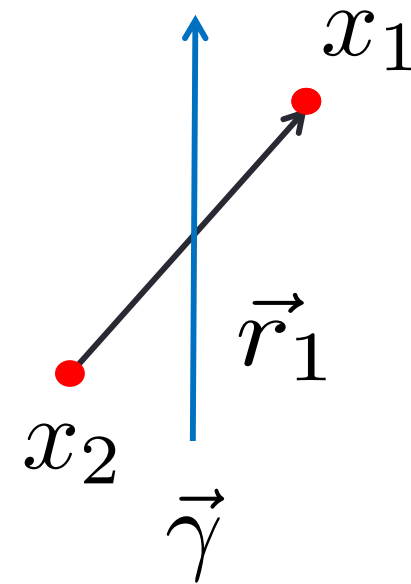
real space

$$\xi(r_1) = \langle \delta(x_1) \delta(x_2) \rangle$$



redshift space

$$\xi(\vec{r}_1, \vec{\gamma})$$



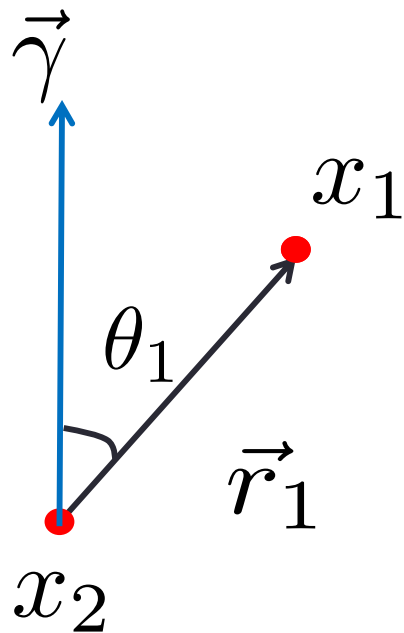
視線方向

# 赤方偏移空間での2点相関

視線方向を2つの天体のうち一つの天体の方向に選ぶと  
多重極スペクトルが速く計算できる。(Yamamoto, et al 2006)

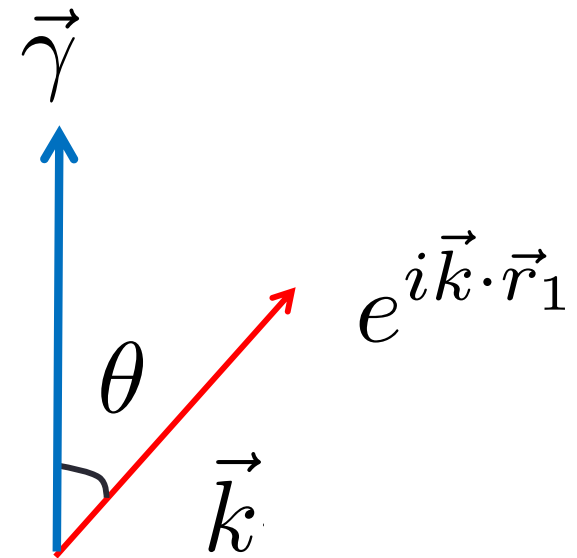
相関関数

$$\xi(r_1, \theta_1)$$



Power spectrum

$$P(k, \theta)$$



$$\xi(r_1, \theta_1) = \sum_{\ell} \xi_{\ell}(r_1) \mathcal{L}_{\ell}(\cos \theta_1) \quad P(k, \theta) = \sum_{\ell} P_{\ell}(k) \mathcal{L}_{\ell}(\cos \theta)$$

$$\xi_{\ell}(r_1) = \frac{1}{2\pi^2} \int_0^{\infty} dk k^2 (-i)^{\ell} j_{\ell}(kr_1) P_{\ell}(k)$$

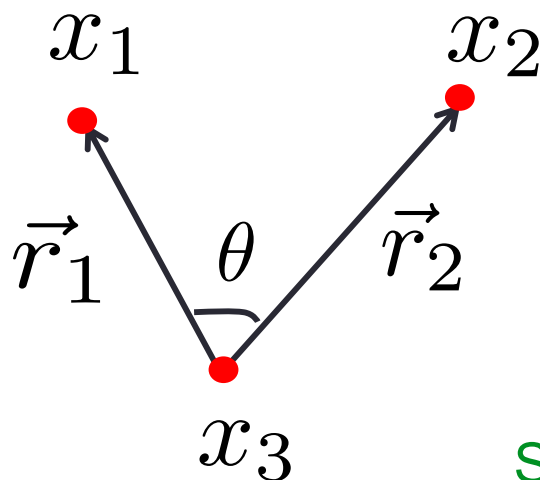
c.f. Matsubara Suto

この手続きを、3点相関関数に拡張する。

### 3. 3点相関関数、バイスペクトルの変数と多重極展開

**3点相関関数** Real space (3角形) は3つパラメーターで記述される。

$$\langle \delta(x_1) \delta(x_2) \delta(x_3) \rangle = \zeta(\vec{r}_1, \vec{r}_2)$$



Slepian and Eisenstein (2015)

多重極展開による定式化

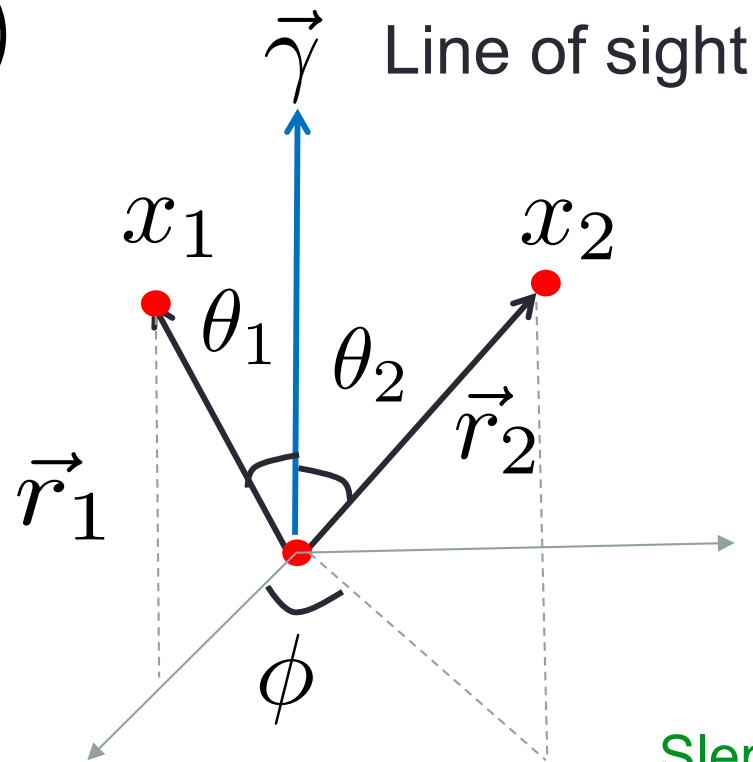
$$\zeta(r_1, r_2, \theta) = \sum_{\ell} \zeta_{\ell}(r_1, r_2) \mathcal{L}_{\ell}(\cos \theta)$$

ルジャンドル多項式

# 3点相関関数 Redshift-space

Redshift spaceでは(3+2=)5つのパラメーターで記述される。

$$\zeta(\vec{r}_1, \vec{r}_2, \vec{\gamma})$$



Configuration space

Slepian and Eisenstein (2017)

$$\zeta(r_1, r_2, \theta_1, \theta_2, \phi) = \sum_{\ell, \ell', m} \zeta_{\ell\ell'}^m(r_1, r_2) Y_{\ell}^m(\hat{r}_1) Y_{\ell'}^{m*}(\hat{r}_2)$$



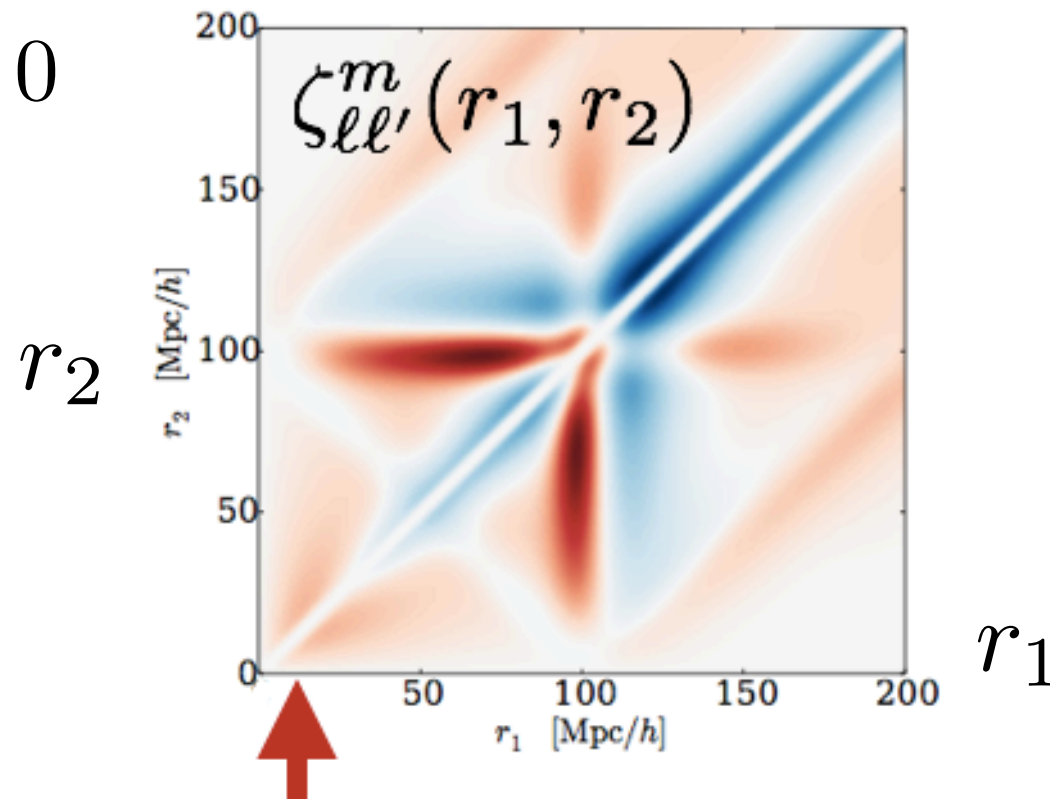
$$\zeta(r_1, r_2, \theta_1, \theta_2, \phi) = \sum_{\ell, \ell', m} \zeta_{\ell\ell'}^m(r_1, r_2) \underbrace{Y_\ell^m(\hat{r}_1) Y_{\ell'}^{m*}(\hat{r}_2)}_{\substack{\updownarrow \\ \text{5つのパラメーター}}}$$

5つのパラメーター

$$N_{\ell, \ell'} P_\ell^{|m|}(\cos \theta_1) P_{\ell'}^{|m|}(\cos \theta_2) e^{im\phi}$$

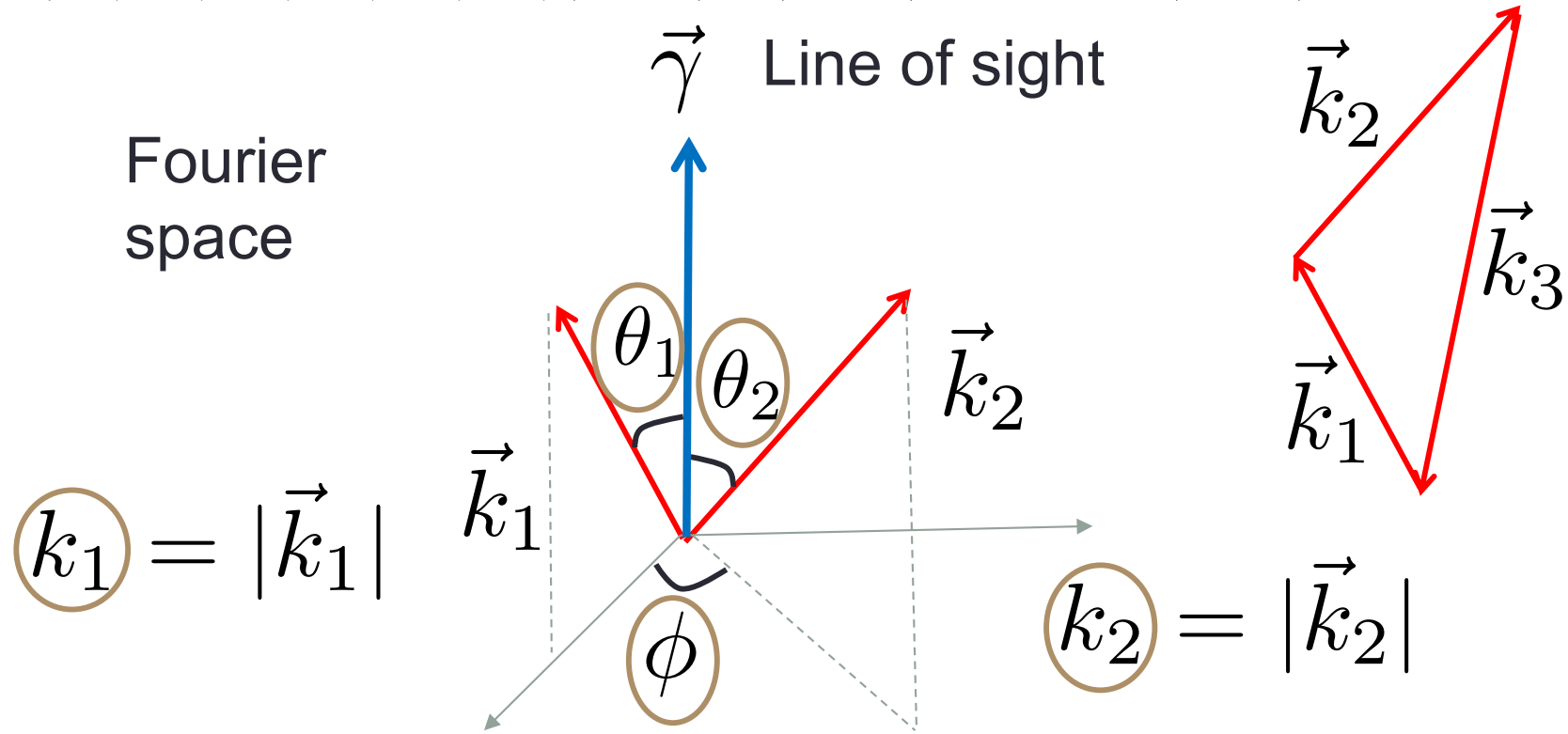
Slepian and Eisenstein (2017)

$$\ell = \ell' = m = 0$$



# バイスペクトルの変数と展開

$$\langle \tilde{\delta}(\vec{k}_1) \tilde{\delta}(k_2) \tilde{\delta}(\vec{k}_3) \rangle = (2\pi)^3 B(\vec{k}_1, \vec{k}_2, \vec{k}_3) \delta_D(\vec{k}_1 + \vec{k}_2 + \vec{k}_3)$$



$$B(\vec{k}_1, \vec{k}_2, \gamma) = \sum_{\ell, \ell', m} B_{\ell \ell'}^m(k_1, k_2) Y_{\ell}^m(\hat{k}_1) Y_{\ell'}^{m*}(\hat{k}_2)$$

$$\zeta(r_1, r_2, \theta_1, \theta_2, \phi) = \sum_{\ell, \ell', m} \zeta_{\ell\ell'}^m(r_1, r_2) Y_\ell^m(\hat{r}_1) Y_{\ell'}^{m*}(\hat{r}_2)$$

$$B(\vec{k}_1, \vec{k}_2, \gamma) = \sum_{\ell, \ell', m} B_{\ell\ell'}^m(k_1, k_2) Y_\ell^m(\hat{k}_1) Y_{\ell'}^{m*}(\hat{k}_2)$$

$$\zeta_{\ell\ell'}^m(r_1, r_2, \gamma) = \frac{i^{\ell-\ell'}}{(2\pi^2)^2} \int_0^\infty dk_1 k_1^2 \int_0^\infty dk_2 k_2^2 j_\ell(k_1 r_1) j_{\ell'}(k_2 r_2) B_{\ell\ell'}^m(k_1, k_2)$$

cf. Sugiyama et al. (2018)

$$B_{\ell\ell L}(k_1, k_2) \propto \sum_m \begin{pmatrix} \ell & \ell' & L \\ m & -m & 0 \end{pmatrix} (-1)^m B_{\ell, \ell'}^m(k_1, k_2)$$

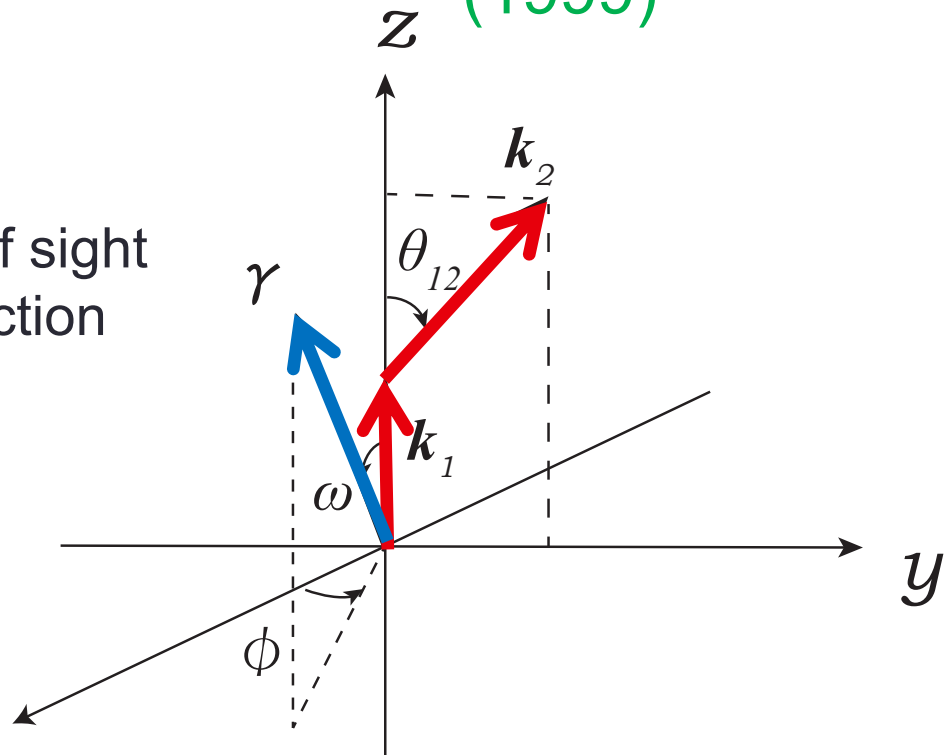
Sugiyama formulaと基本的に同等

# Bispectrum in redshift space

Scoccimarro et al  
(1999)

$$B(k_1, k_2, \theta_{12}, \omega, \phi)$$

$\gamma$  line of sight  
direction

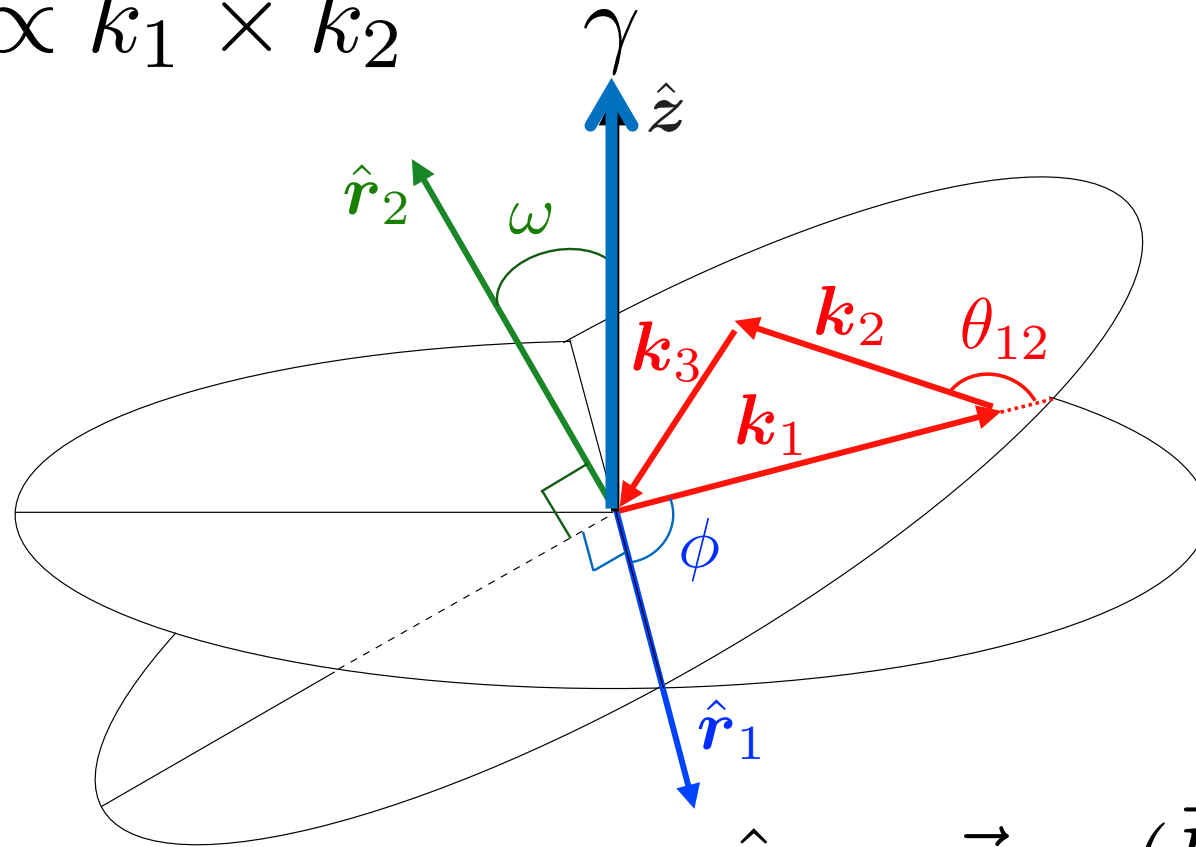


*multipole expansion*

$$B(k_1, k_2, \theta_{12}, \omega, \phi) = \sum_{\ell, m}^x B^{\ell, m}(k_1, k_2, \theta_{12}) Y_{\ell}^m(\omega, \phi)$$

Hashimoto, Rasera, Taruya (2017)

$$\hat{r}_2 \propto \vec{k}_1 \times \vec{k}_2$$

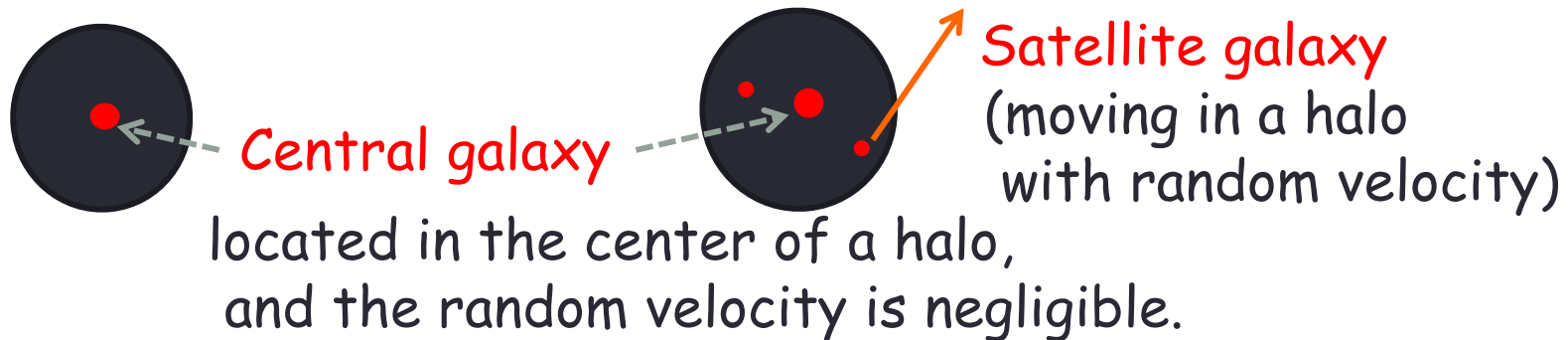


$$\hat{r}_1 \propto \vec{\gamma} \times (\vec{k}_1 \times \vec{k}_2)$$

$$B(k_1, k_2, \theta_{12}, \omega, \phi)$$

### § 3. ハローアプローチとバイスペクトル

Every DM and galaxy reside in dark matter halos, their distribution is described on the basis of the halo density profile with mass  $M$  and halo's correlation.



### Halo occupation distribution (HOD)

galaxy number in a halo with mass  $M$

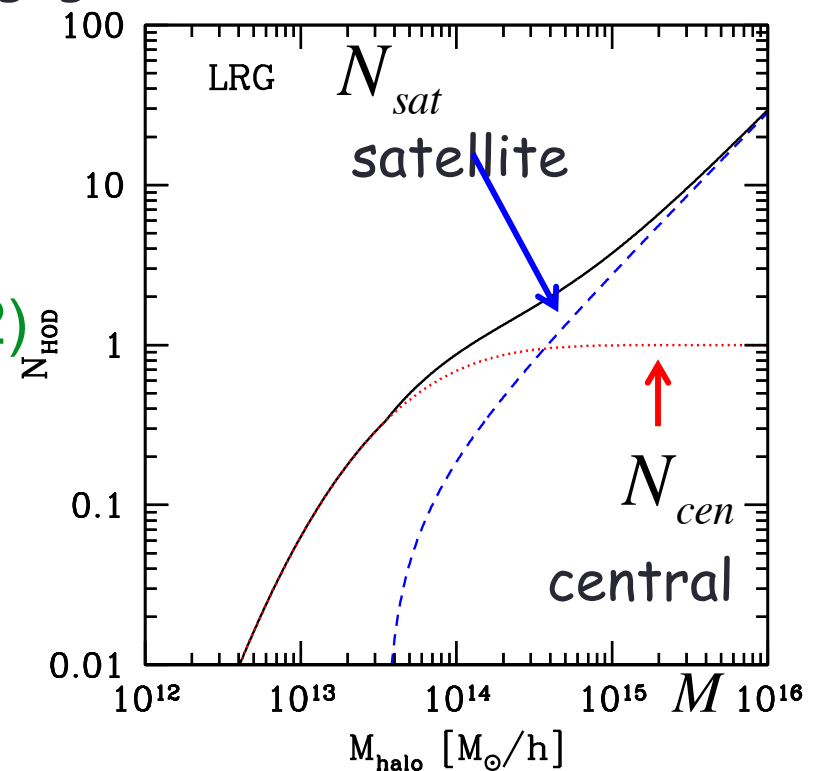
(Hikage et al. 2012)

### Satellite galaxy random velocity

Virial random velocity dispersion

$$\sigma_{v,off}^2 = \frac{GM}{2r_{vir}}$$

Finger of God effect



# Galaxy power spectrum with the halo model in redshift-space

## 1-halo term

$$P^{1h}(k, \mu) = \frac{1}{\bar{n}^2} \int dM \frac{dn(M)}{dM} \left( \overbrace{2N_{cen} N_{sat} p(k, \sigma_v, M)}^{\text{Central-Satellite}} + \overbrace{N_{sat}^2 p(k, \sigma_v, M)^2}^{\text{Satellite-Satellite}} \right)$$

## 2-halo term

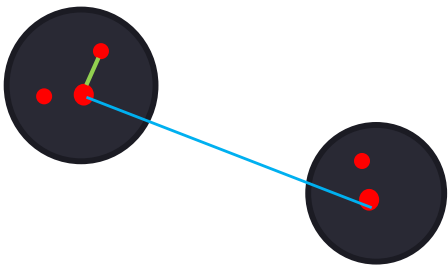
$$P^{2h}(k, \mu) \cong \frac{1}{\bar{n}^2} \left[ \int dM \frac{dn(M)}{dM} \langle N_{cen} \rangle \left( 1 + \langle N_{sat} \rangle p(k, \sigma_v, M) \right) \left( b(M) + f\mu^2 \right) \right]^2 P_m(k)$$

Linear distortion

satellite galaxies have random velocity

$$p(k, \sigma_v, M) \cong u(k, M) \exp \left[ -\frac{\sigma_v^2(M) k^2 \mu^2}{2a^2 H^2} \right]$$

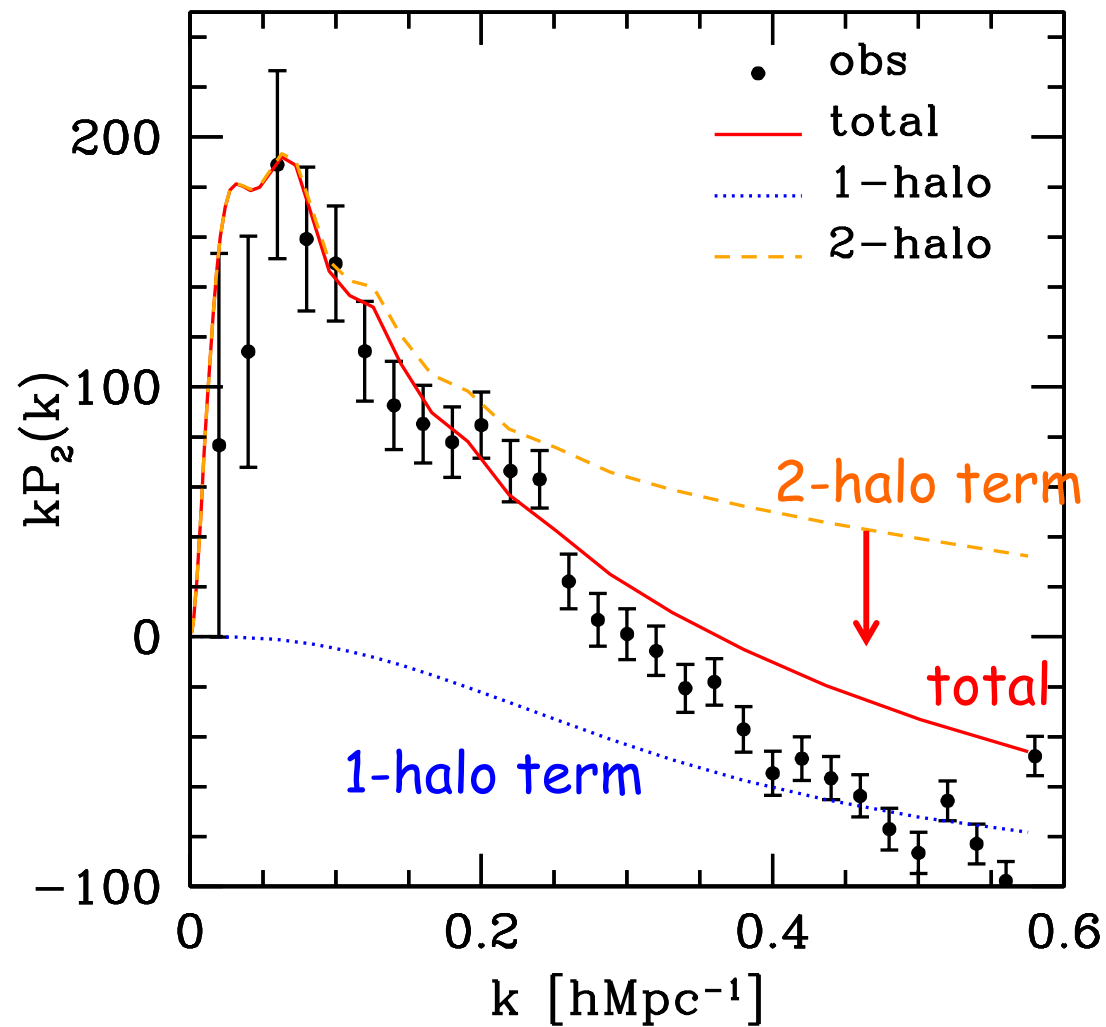
Finger of God  
RSD



- ✓ Halo mass function, halo correlation
- ✓ Halo density profile = satellite galaxy distribution
- ✓ Halo occupation distribution (HOD)

# $kP_2(k)$ Quadrupole spectrum

Hikage, Yamamoto (2013)



Significant contribution  
of 1-halo term  
to quadrupole spectrum  
at large  $k$  ( $k > 0.2 h\text{Mpc}^{-1}$ )

Possible contribution  
at quasi-linear regime  
( $k < 0.2 h\text{Mpc}^{-1}$ )

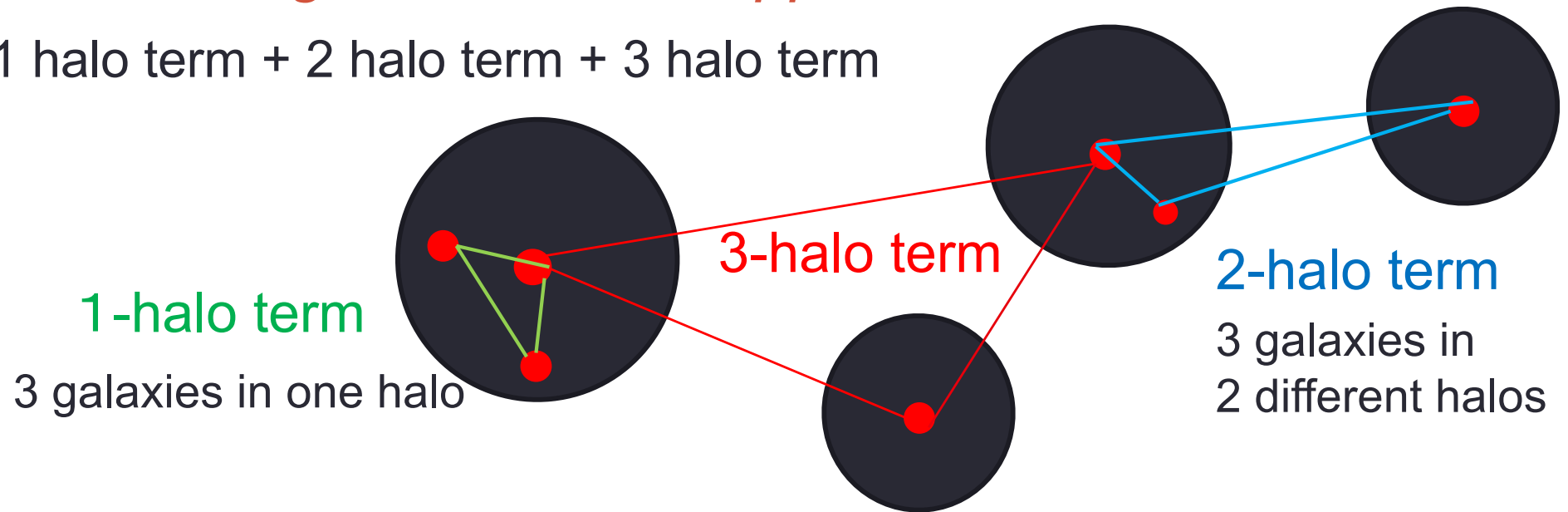
Quadrupole spectrum  
非線形領域の振る舞い  
を説明する



# *Bispectrum of galaxies in halo approach*

KY, Nan, Hikage (2017)

= 1 halo term + 2 halo term + 3 halo term



**3 - halo term**, dominant contribution on the large scales

**2 - halo term**, dominant contribution on the small scales

**1 - halo term**, Finger of God effect from satellite galaxies

→ redshift-space distortion on the small scale

# Theoretical formula of the bispectrum in halo approach

$$B_g(t, \mathbf{k}_1, \mathbf{k}_2, \mathbf{k}_3) = B_{g,1h}(t, \mathbf{k}_1, \mathbf{k}_2, \mathbf{k}_3) + B_{g,2h}(t, \mathbf{k}_1, \mathbf{k}_2, \mathbf{k}_3) + B_{g,3h}(t, \mathbf{k}_1, \mathbf{k}_2, \mathbf{k}_3)$$

$$B_{g,1h}(t, \mathbf{k}_1, \mathbf{k}_2, \mathbf{k}_3) = \frac{1}{\bar{n}^3} \int dM \frac{dn(M)}{dM} \left[ \langle N_c \rangle \langle N_s(N_s - 1) \rangle (\tilde{u}(\mathbf{k}_1, M) \tilde{u}(\mathbf{k}_2, M) + 2 \text{ cyclic terms}) \right. \\ \left. + \langle N_s(N_s - 1)(N_s - 2) \rangle \tilde{u}(\mathbf{k}_1, M) \tilde{u}(\mathbf{k}_2, M) \tilde{u}(\mathbf{k}_3, M) \right]$$

$$B_{g,2h}(t, \mathbf{k}_1, \mathbf{k}_2, \mathbf{k}_3) = \frac{1}{\bar{n}^3} \int dM_1 \frac{dn(M_1)}{dM_1} \left[ \langle N_c \rangle \langle N_s \rangle (\tilde{u}(\mathbf{k}_1, M_1) + \tilde{u}(\mathbf{k}_2, M_1)) + \langle N_s(N_s - 1) \rangle \tilde{u}(\mathbf{k}_1, M_1) \tilde{u}(\mathbf{k}_2, M_1) \right] \\ \times \int dM_2 \frac{dn(M_2)}{dM_2} (\langle N_c \rangle + \langle N_c \rangle \langle N_s \rangle \tilde{u}(\mathbf{k}_3, M_2)) P_{2h}(t, \mathbf{k}_3, M_1, M_2) + 2 \text{ cyclic terms}$$

$$B_{g,3h}(t, \mathbf{k}_1, \mathbf{k}_2, \mathbf{k}_3) = \frac{1}{\bar{n}^3} \int \prod_{i=1}^3 \left[ dM_i \frac{dn(M_i)}{dM_i} \langle N_c \rangle (1 + \langle N_s \rangle \tilde{u}(\mathbf{k}_i, M_i)) \right] P_{3h}(t, \mathbf{k}_1, \mathbf{k}_2, \mathbf{k}_3, M_1, M_2, M_3)$$

$$P_{2h}(t, \mathbf{k}_3, M_1, M_2) = (b(M_1) + \mu_3^2 f)(b(M_2) + \mu_3^2 f) P_m(t, k_3)$$

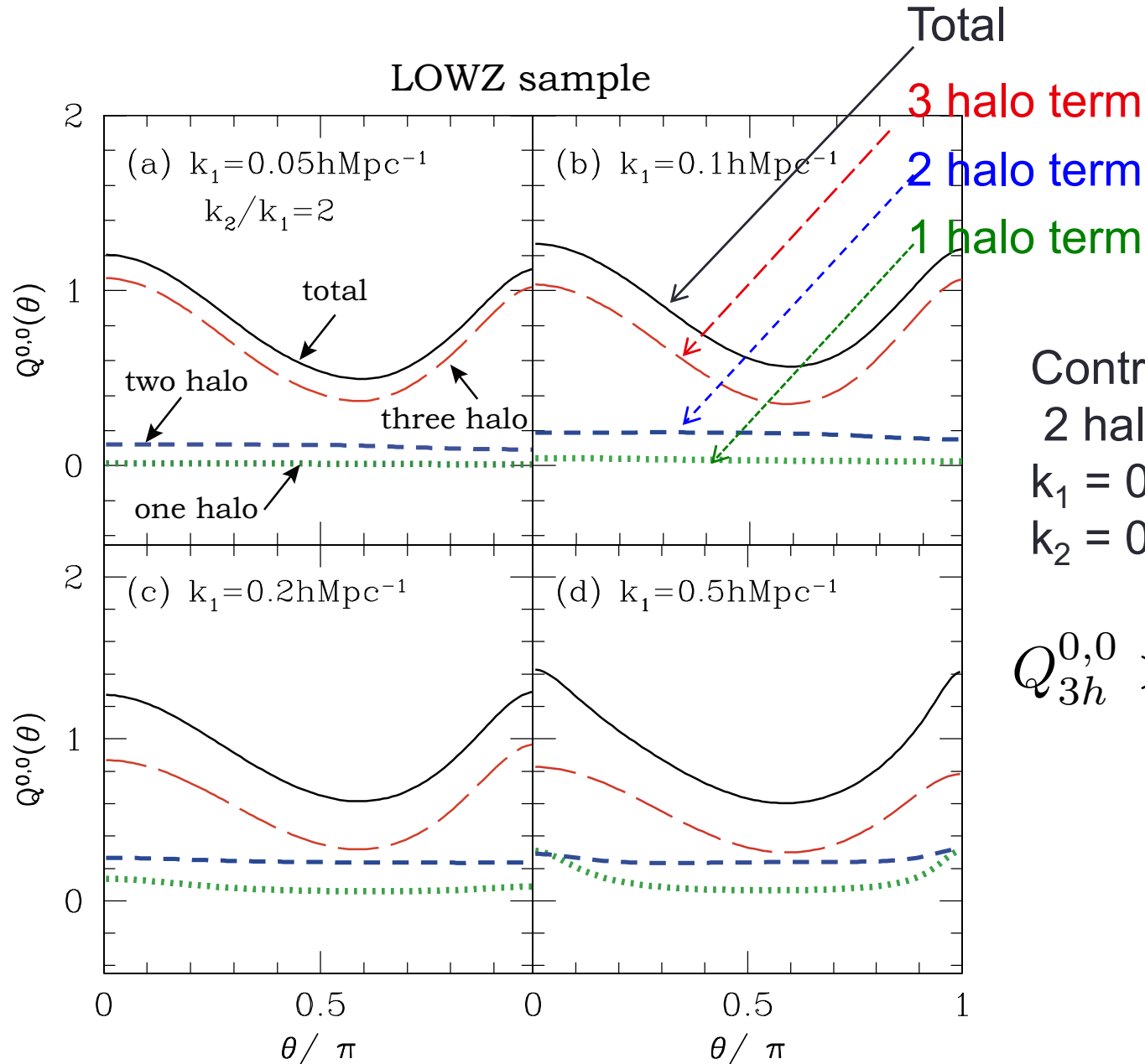
$$P_{3h}(t, \mathbf{k}_1, \mathbf{k}_2, \mathbf{k}_3, M_1, M_2, M_3) = 2P_m(t, k_1) P_m(t, k_2) (b(M_1) + f\mu_1^2)(b(M_2) + f\mu_2^2) Z_2(\mathbf{k}_1, \mathbf{k}_2, M_3)$$

$$Z_2(\mathbf{k}_1, \mathbf{k}_2, M_3) = b(M_3) F_2(\mathbf{k}_1, \mathbf{k}_2) + \frac{b_2(M_3)}{2} + f\mu_{12}^2 G_2(\mathbf{k}_1, \mathbf{k}_2) \\ + \frac{1}{2} f\mu_{12} k_{12} \left\{ \frac{\mu_1}{k_1} (b(M_3) + f\mu_2^2) + \frac{\mu_2}{k_2} (b(M_3) + f\mu_1^2) \right\}$$

$$\mu_{12} = (\mathbf{k}_1 + \mathbf{k}_2) \cdot \boldsymbol{\gamma} / k_{12} \quad k_{12} = |\mathbf{k}_1 + \mathbf{k}_2| \quad \mu_j = \mathbf{k}_j \cdot \boldsymbol{\gamma} / k_j$$

# Monopole (reduced) bispectrum

KY, Nan, Hikage (2017)



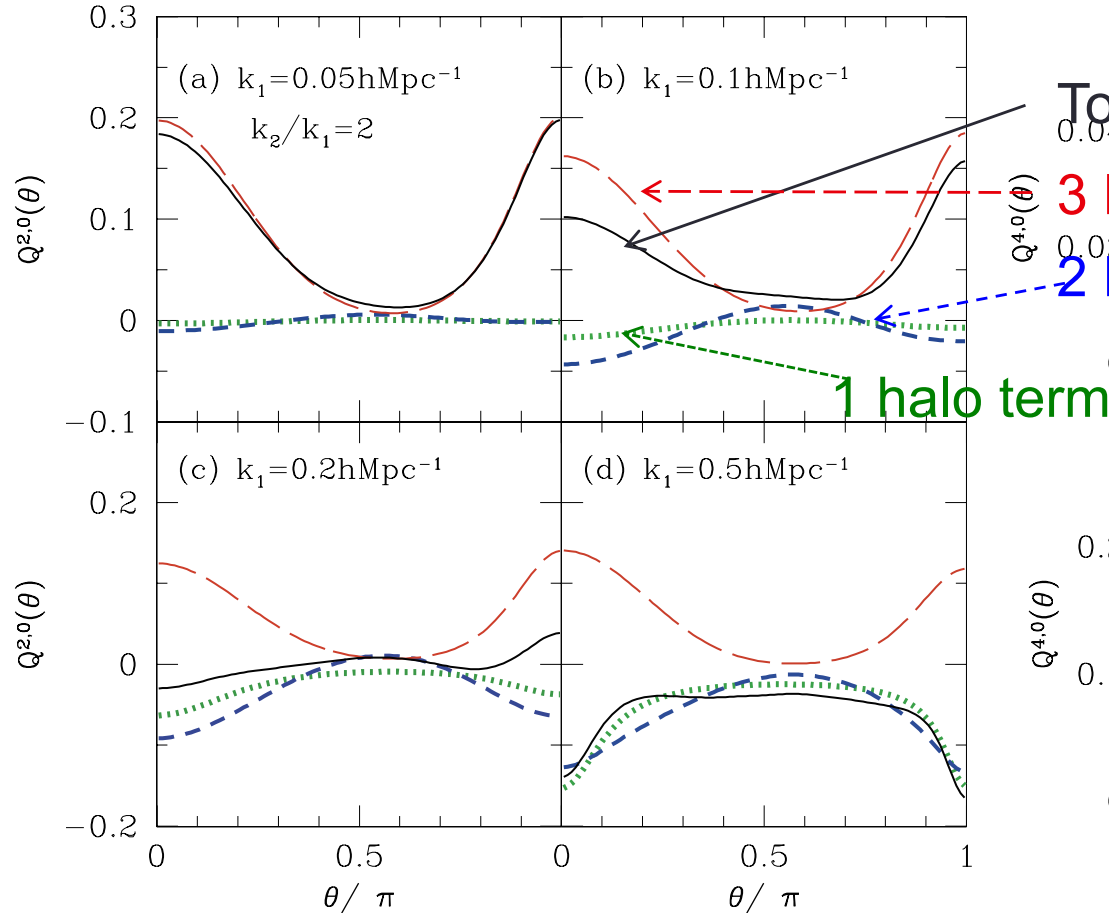
Contribution from  
2 halo term at  
 $k_1 = 0.1 \text{ hMpc}^{-1}$   
 $k_2 = 0.2 \text{ hMpc}^{-1}$

$$Q_{3h}^{0,0} > Q_{2h}^{0,0} > Q_{1h}^{0,0}$$

## Quadrupole bispectrum

$$Q^{2,0}(\theta)$$

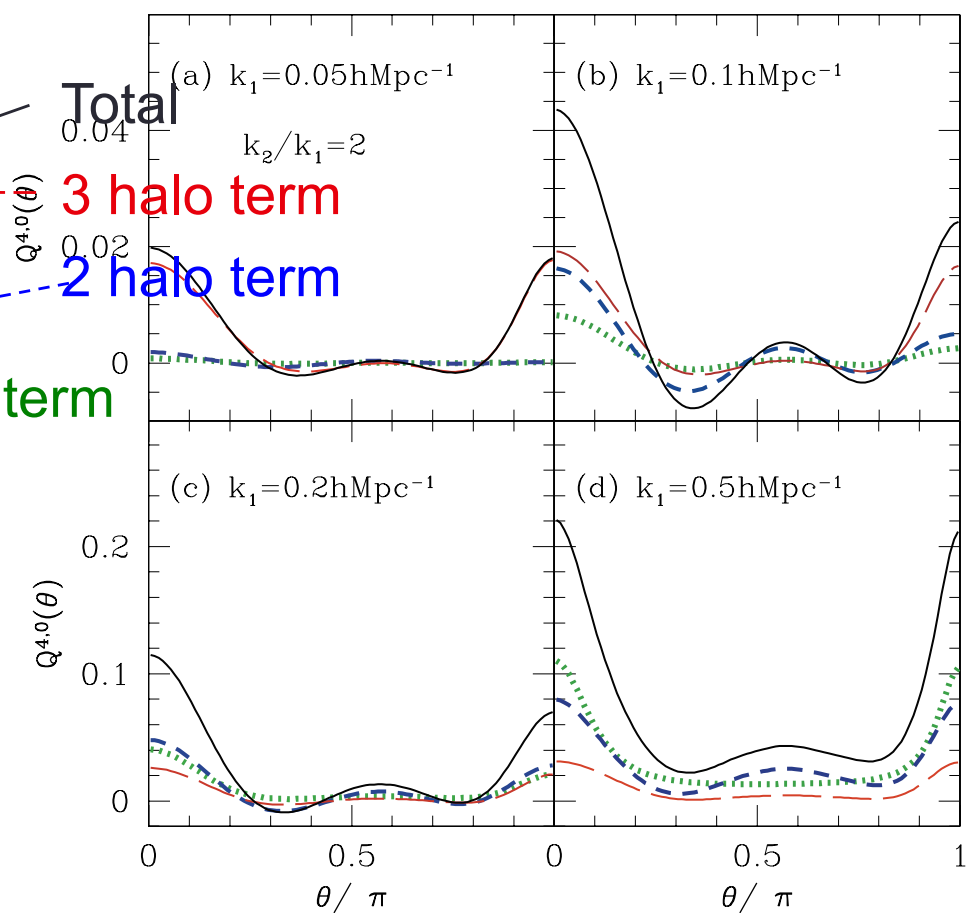
LOWZ sample



## Hexadecapole bispectrum

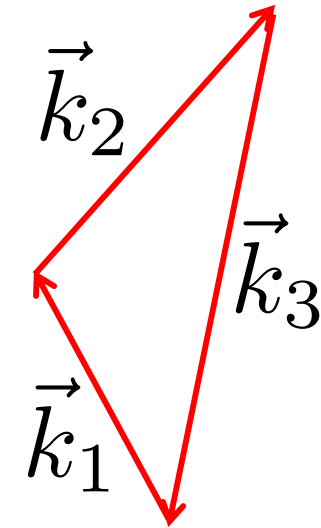
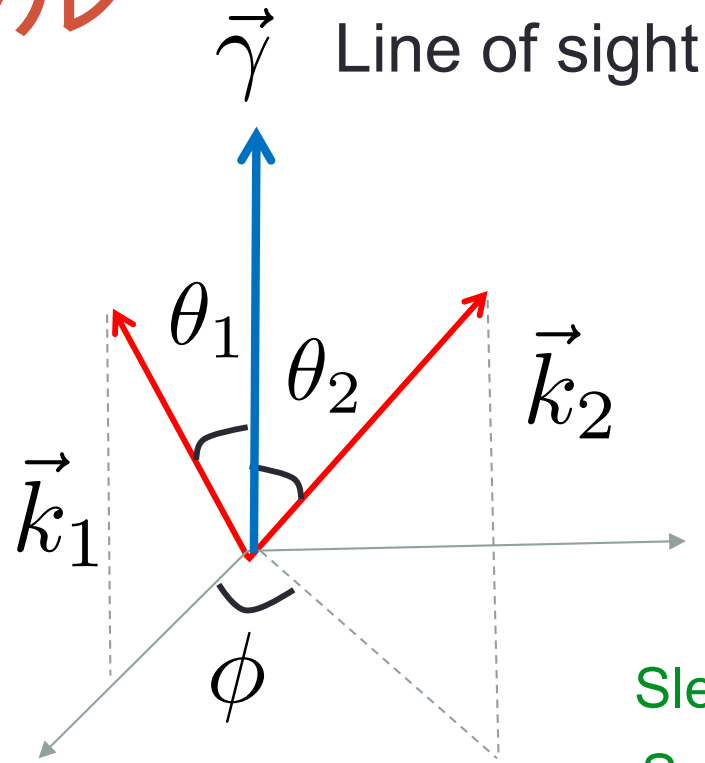
$$Q^{4,0}(\theta)$$

LOWZ sample



significant contribution from the 2 halo term (and 1 halo term )  
on the scale  $k \gtrsim 0.1 \text{ hMpc}^{-1}$  to the higher multipoles bispectrum

# バイスペクトル



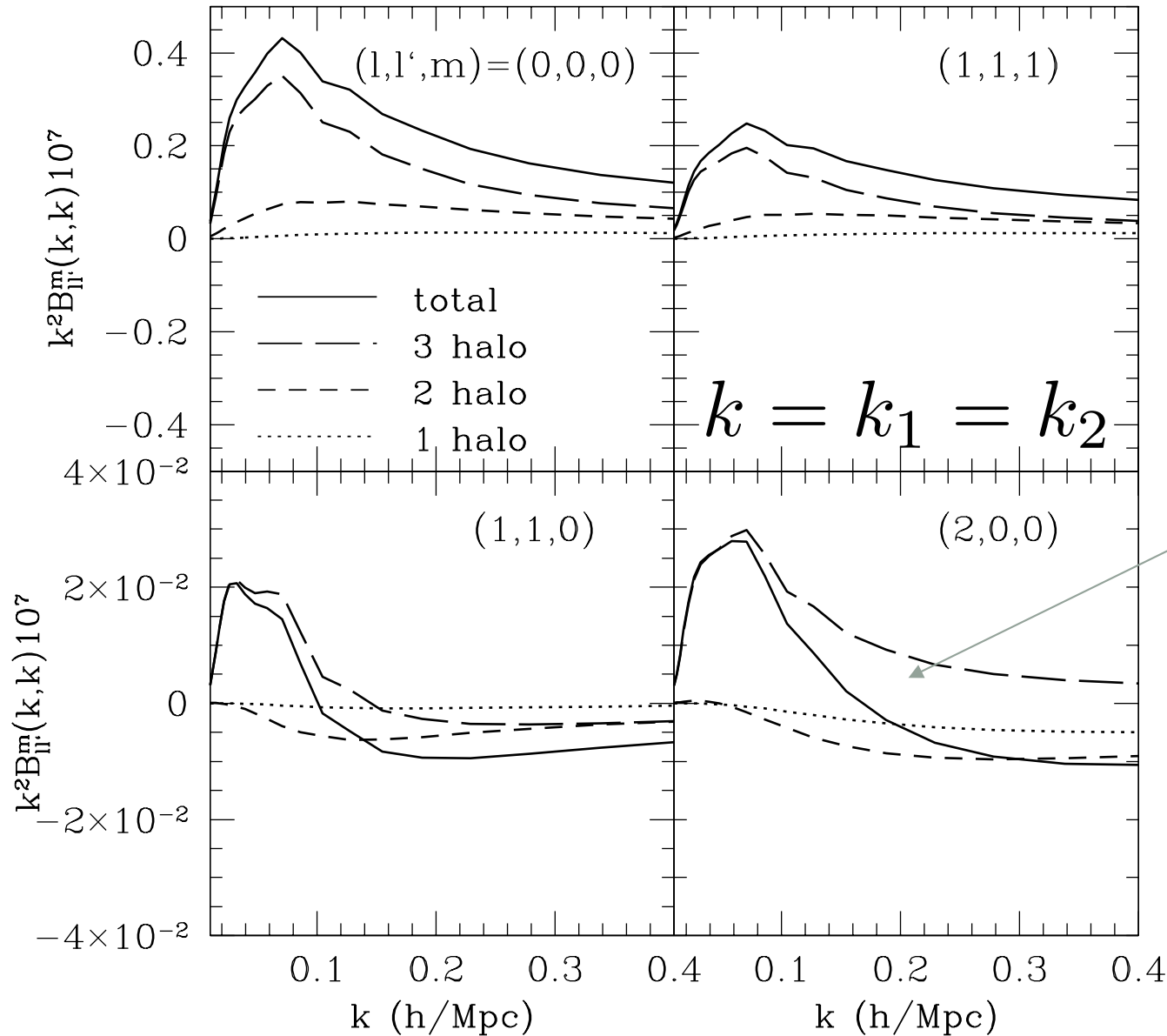
Slepian & Eisenstein (2017)  
Sugiyama et al. (2018)

$$B(k_1, k_2, \theta_1, \theta_2, \phi) = \sum_{\ell, \ell', m} B_{\ell \ell'}^m(k_1, k_2, \gamma) Y_{\ell}^m(\hat{k}_1) Y_{\ell'}^{m*}(\hat{k}_2)$$

Slepian & Eisensteinの定義をバイスペクトルに応用した定式化を採用し、ハローモデルの理論予言

# $k^2 B_{\ell, \ell'}^m(k, k)$ SDSS III LOWZ sample

HOD (Parejko et al 2013)



c.f. Sugiyama et al.

2 halo termの  
寄与が大きい

$P_2(k)$ の振る舞い  
に似ている

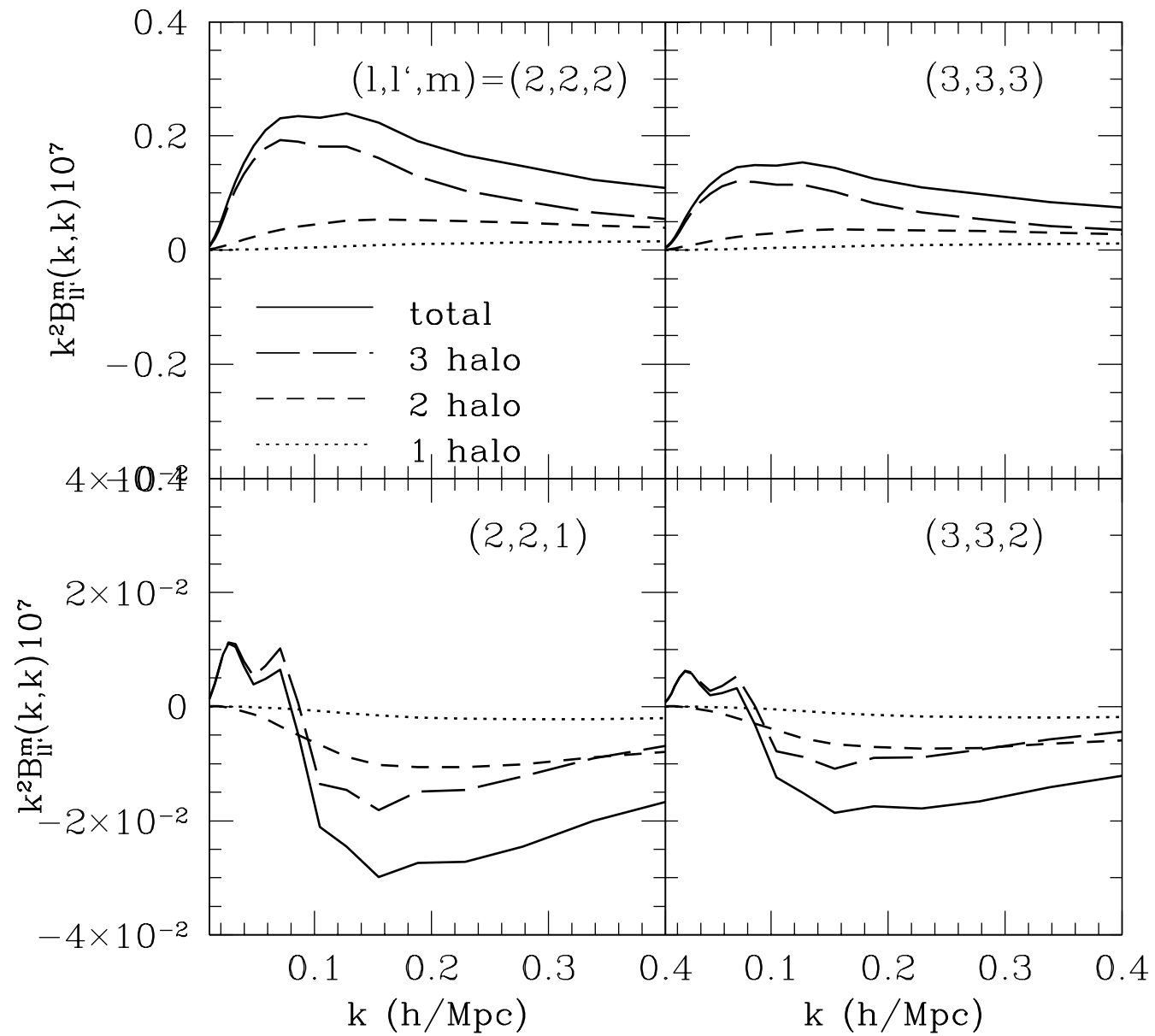
— Total  
 - - - 3 halo term  
 - · - 2 halo term  
 ····· 1 halo term

# 寄与の大きな成分 $B_{\ell, \ell'}^m(k_1, k_2)$

$(\ell, \ell', m)$   $\ell = 4$  までの成分

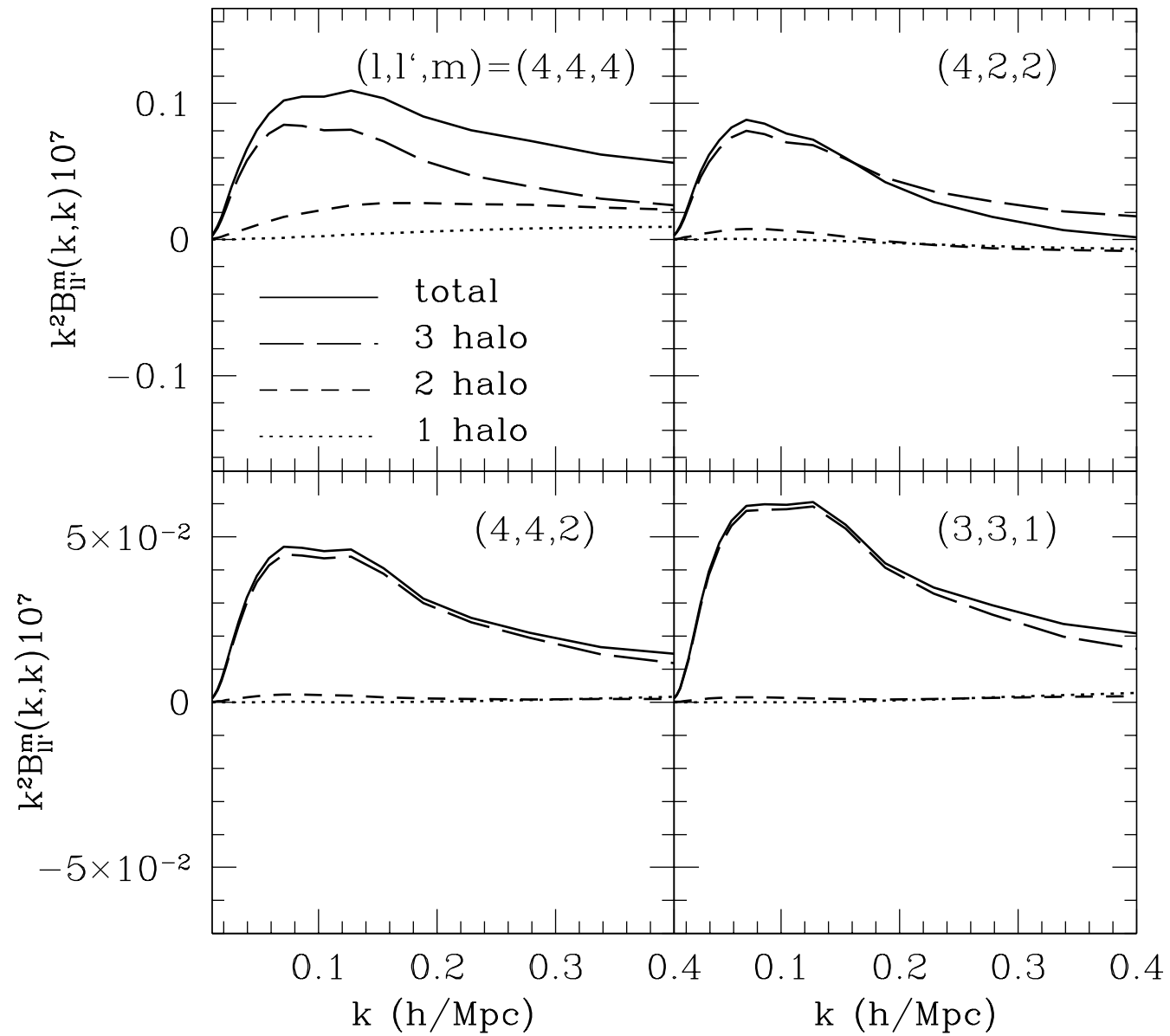
$(0, 0, 0)$	$(2, 0, 0)$	$(3, 1, 1)$	$(4, 2, 2)$
$(1, 1, 0)$	$(2, 2, 0)$	$(3, 3, 1)$	$(4, 4, 2)$
$(1, 1, 1)$	$(2, 2, 1)$	$(3, 3, 2)$	$(4, 4, 3)$
	$(2, 2, 2)$	$(3, 3, 3)$	$(4, 4, 4)$

# SDSS III LOWZ sample



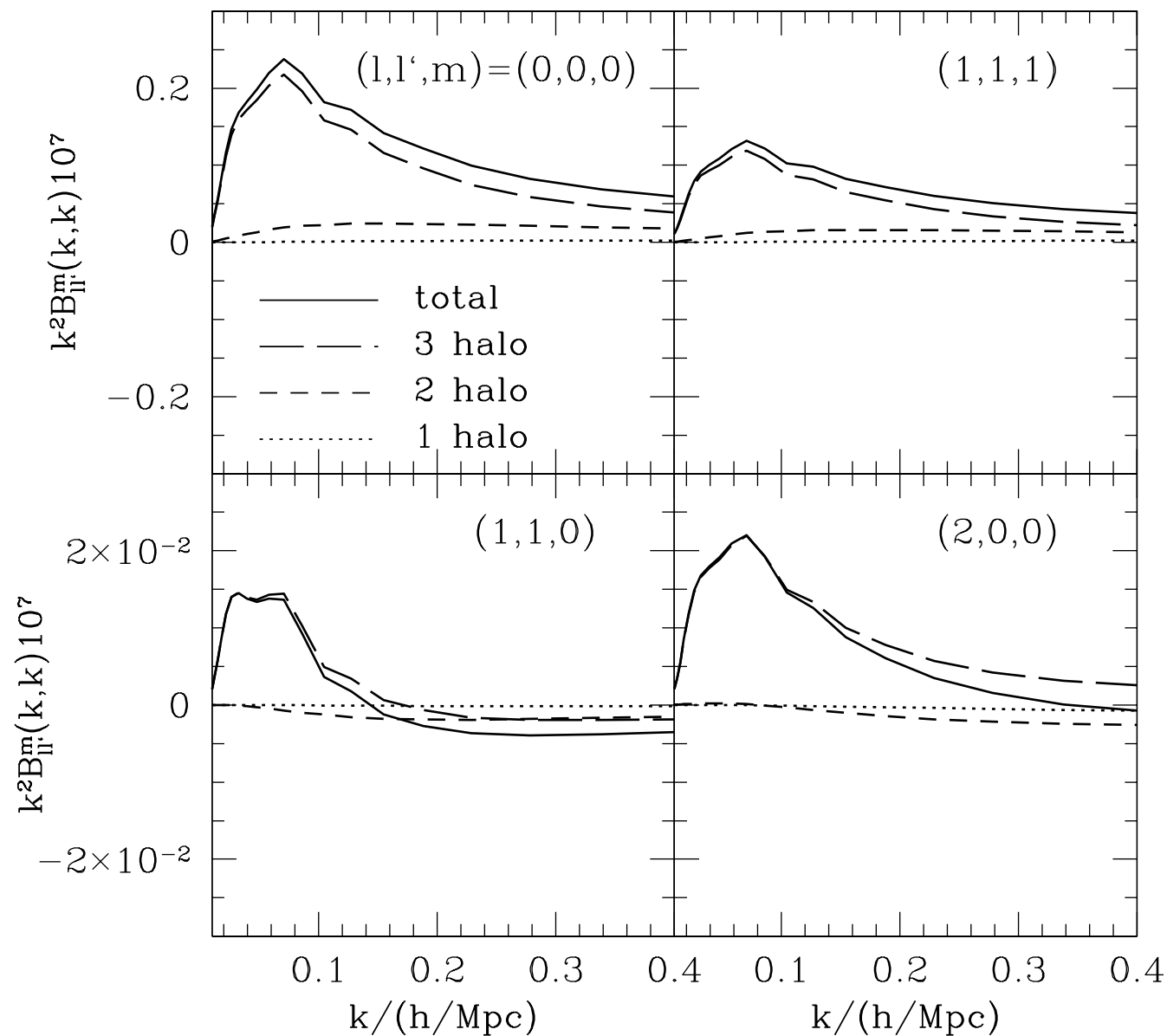


# SDSS III LOWZ sample



# SDSS III CMASS sample

HOD (Manera et al 2013)



## HOD依存性

CMASSでは  
2 halo term  
の寄与が  
LOWZサンプル  
に比べて小さい

理論模型模型  
の制限に際して  
2 halo termの寄与  
HOD依存性は、  
系統誤差を生む  
可能性がある。

## 4. 結論

- ✓ バイスpekトル、3点相関関数の赤方偏移空間の変数の選び方

Slepian & Eisensteinの3PCFをバイスペクトルに応用した多重極展開

cf. Sugiyama et al (2018)

- ✓ ハローモデルに基づいたバイスペクトル理論模型

2ハロー項の寄与が大きい場合がある HOD依存性

- ✓ 今後の課題

赤方偏移空間の多重極バイスペクトルの振る舞いの直感的理解

バイスペクトル測定への応用